

UNDERSØKELSE AV STATENS  
BERGRETTHETER  
1979  
NGU-rapport 1650/49 E

Mo, Zn, Pb, Cu, Mn og Fe i bekkesedimenter  
Finnemarka, Tyrifjordområdet  
Buskerud fylke



# Norges geologiske undersøkelse

Leiv Eiriksons vei 39  
Tlf. (075) 15 860

Postboks 3006  
7001 Trondheim

Postgironr. 5168232  
Bankgironr. 0633.05.70014

Rapport nr. 1650/49 E

Apen/Fortrolig til 1.11.1979

Tittel:

Cu, Mo, Pb, Zn, Mn og Fe i bekkesedimenter,  
Finnmarka, Tyrifjordområdet.

Oppdragsgiver:

Industridepartementet

Forfatter:

Tore Volden

Forekomstens navn og koordinater:

Kommune:

Øvre Eiker, Nedre Eiker,  
Modum, Lier

Fylke:

Buskerud

Kartbladnr. og -navn (1:50 000):  
1815 III 1814 IV 1714 I

Utført:

Prøvetaking: juli-august 1978

Sidetall: 8 Tekstbilag: 19

Rapportert: mai 1979

Kartbilag: 13

Prosjektnummer og -navn:

1650 "Undersøkelse av Statens bergrettigheter"

Prosjektleder: I. Lindahl

Sammendrag:

1137 bekkesedimenter ble prøvetatt med 250 m avstand i alle bekker. Prøvene ble analysert på Cu, Mo, Pb, Zn, Mn og Fe. Det ble påvist Mo-anomalier som sannsynligvis har sammenheng med den kjente Mo-forekomst ved Glitrevann. I tillegg fremkom det anomalier på Mo, Pb og Zn som anbefales fulgt opp med geologiske undersøkelser.

Norges geologiske undersøkelse  
Håndskrift

Nøkkelord	Bekkesedimenter	Mo, Cu, Pb, Zn, Mn, Fe
	Geokjemiske kart	
	Finnmarka	

INNHOLD:

INNLEDNING  
METODER  
PRØVETAKING  
ANALYSERING  
DATABEHANDLING

BILAG:

1. Statistiske parametre for fordelingen av Cu, Mo, Pb, Zn, Mn og Fe
- 2- 3. Scattergram for hele området Mo/Mn, Mo/Fe
- 4-13. Scattergram for 5 ulike underområder Mo/Mn, Mo/Fe
- 14-19. Frekvensfordelingsdiagrammer

TEGNINGER:

1650/49 E-1	Prøvenummerkart med geologiske grenser
1650/49 E-2	Resultatkart Mo
1650/49 E-3	Resultatkart Zn
1650/49 E-4	Resultatkart Pb
1650/49 E-5	Resultatkart Cu
1650/49 E-6	Resultatkart Mn
1650/49 E-7	Resultatkart Fe
1650/49 E-8	Kvotsientkart Zn/Mo
1650/49 E-9	Kvotsientkart Pb/Fe
1650/49 E-10	Kvotsientkart Mo/Fe
1650/49 E-11	Kvotsientkart Pb/Mn
1650/49 E-12	Kvotsientkart Zn/Mn
1650/49 E-13	Kvotsientkart Mo/Mn

## INNLEDNING

I 1976-77 utførte U.S.B. undersøkelser av Glomsrudkollen i Modum kommune. Ut ifra resultatene av disse undersøkelsene ble det bestemt å prøveta bekkesedimenter fra ca.  $140 \text{ km}^2$  av Finnemarka. I 1978 kom det i stand et samarbeide med Norsk Hydro, og området ble nå utvidet med  $250 \text{ km}^2$ . Innenfor dette området har Norsk Hydro funnet indisier på en molybdenforekomst ved Glitrevann. Sommeren 1978 ble det samlet inn bekkesedimenter fra 1137 lokaliteter i et område med kambro-silurske bergarter samt fra de mest aktuelle intrusiver. Prøvene ble analysert på Cu, Mo, Pb, Zn, Mn og Fe. Hensikten med undersøkelsen er å utrede områdets muligheter for økonomiske mineraliseringer, i første rekke molybdenforekomster.

## PRØVETAKING

Bekkesedimentene, fortrinnsvis aktive og av uorganisk sammensetning, ble samlet med 250 m mellomrom langs alle bekker i området. Prøvene ble våtsiktet på prøvetakingsstedet gjennom nylonduk med maskevidde 0,18 mm. Etter tørking ble prøvene sendt til NGU for analyse.

## ANALYSERING

1,0 gram finfraksjon (0,18 mm) ble behandlet med 5 ml  $\text{HNO}_3$  1:1 i 3 timer på kokeplate ved  $110^\circ\text{C}$ . Oppløsningen ble fortyndet til 20,3 ml og filtrert gjennom nylonduk med maskevidde 0,02 mm. Den filtrerte løsning ble oppbevart på glassflasker med plastkork. I denne løsning ble Cu, Mo, Pb, Zn, Mn og Fe bestemt med atomabsorpsjonsspektrometri (Perkin Elmer 460).

## BEHANDLING AV DATA

Alle prøvetakingssteder ble koordinatfestet (UTM-koordinater) med en ACA geotracer digitaliseringseenhet som er koplet til NGU's datamaskin via en dataskjerm. Analyseresultatene ble punchet, og kumulative frekvensfordelinger, statistiske parametre og korrelasjonskoeffisienter ble bestemt ved hjelp av EDB. Området ble delt opp i 5 underområder:

Område 1. Berggrunnen består vesentlig av Monzodioritt

Område 2. " " " Biotittgranitt

Område 3. " " " Lavabergarter (Trackytt og Basalter)

Område 4. " " " Aplittisk granitt og Q-feltspatporfyr

Område 5. " " " Kambro-silurske bergarter

Statistiske parametre, frekvensfordelinger og korrelasjonskoeffisienter ble bestemt for hver av disse områdene.

EDB ble også brukt til kartfremstilling av analyseresultatene for Mn og Fe og forholdene Mo/Mn, Mo/Fe, Pb/Mn, Pb/Fe, Zn/Mn og Zn/Fe. De øvrige kart ble fremstilt manuelt.

## RESULTATER

Statistiske parametre er vist i bilag 1. Mo viser høye konsentrasjoner i underområde 2 og 4 (Biotittgranitt, Aplittisk granitt og Q-feltspatporfyr). Medianverdiene er henholdsvis 18 og 28 ppm. Finnmarksområdet som helhet har medianverdi 10 ppm.

Pb-konsentrasjonen er høyest i underområde 4 (Aplittisk granitt og Q-feltspatporfyr). Medianverdien er 70 ppm i forhold til 39 ppm i hele området.

Mn-konsentrasjonen er høyest i underområde 1 og 2 (Monzodioritt, Biotittgranitt) og lavest i område 3 og 5 (Lavabergarter og Kambrosilurske bergarter).

Cu-konsentrasjonen ser ut til å fordele seg likt over hele området (medianverdi 12 ppm).

Innholdet av Fe er stort sett likt for hele området, med noe lavere medianverdi i underområde 3 og 5 (lavabergarter og kambrosilurske bergarter) enn i de øvrige underområder.

Scattergram med korrelasjonskoeffisienter er vist i bilagene 2-13.

Korrelasjonskoeffisienten ( $r$ ) mellom Mo og Fe for hele området er 0,71, lavest i underområde 3 ( $r = 0,39$ ) og høyest i underområde 1 og 2 (henholdsvis 0,79 og 0,78).

Korrelasjonskoeffisienten mellom Mo og Mn for hele området er 0,68.

Den er lavest i underområde 3 ( $r = 0,39$ ) og høyest i underområde 1 og 2 (henholdsvis 0,76 og 0,68).

På Mo-kartet kan det skilles ut 8 anomaliområder. Alle anomaliene ser ut til å være knyttet til granittene i området. Kvotsientkartet Mo/Mn bekrefter anomaliområdene 1, 4, 5 og delvis 6, men gir ikke så klart bilde for de andre anomaliene. Kart over Mo/Fe bekrefter alle Mo-anomaliene, delvis blir de også forsterket på kvotsientkartet. I tillegg fremkommer noen områder med høy Mo/Fe der det er middels høy Mo-konsentrasjon i rådata. Særlig ser dette ut til å være tilfelle i området sør for Glitrevann, sør-vest og nord-øst for Lurtopp.

På Zn-kartet kan det skilles ut 9 anomali-områder. Anomaliområdene 1, 2, 3, 7 og 8 framtrer også som anomalier på kvotsientkartet Zn/Mn. Områdene 4, 5, 6 og 9 viser lave verdier for Zn/Mn. Kartet over Zn/Fe viser anomalier i de samme områdene som resultatkartet for Zn.

På Pb-kartet kan det skilles ut 8 anomaliområder. Kvotsientkartet Pb/Mn ser ikke ut til å gi det samme anomalibildet som Pb-kartet. Enkeltstående Pb/Mn-anomalier framkommer på kvotsientkartet. Kvotsientkartet for Pb/Fe ser ut til å vise anomalier i områdene 1, 2 og 3 og delvis 4, 5, 6, 7 og 8. I tillegg fremkommer også enkelte anomalier med lave til dels middels Pb-konsentrasjon.

På Cu-kartet vises ingen tydelige anomaliområder, men en prøve fra en bekk som drenerer Glomsrudkollen har et Cu-innhold på 2,05%.

Sentrumskoordinater  
for Anomaliområder

		Mo	Pb	Zn
685 E	445 N	3	4	
605 E	446 N	7	9	
595 E	346 N	8	1	4
553 E	336 N	5		
568 E	340 N	4		
665 E	465 N	6		
656 E	425 N	1		
645 E	420 N	2		
670 E	385 N		2	
655 E	385 N		3	
635 E	455 N		5	
645 E	455 N		6	
650 E	312 N		7	
595 E	302 N		8	
698 E	495 N			1
670 E	375 N			2
695 E	465 N			3
608 E	395 N			5
630 E	330 N			6
545 E	395 N			7
555 E	410 N			8
638 E	375 N			9

## KOMMENTARER

De påviste anomaliene på Mo, Pb og Zn bør følges opp med geologiske undersøkelser. De høye konsentrasjonene av Mo i dreneringsfeltet sør-vest for Glitrevann bør vurderes i henhold til de kjente mineraliseringene i området. Den ene punktanomalien på Cu i bekken som drenerer Glomsrudkollen skyldes sannsynligvis forurensning.

Trondheim 8/5 1979



Tore Volden

## Statistiske parametere for fordelingen av Cu, Mo, Pb, Zn, Mn og Fe på oppdrag 1650/49 E.

Hele området samlet (1127 prøver)

Område 1: Berggrunn vesentlig av Monzodioritt (96 prøver)

Område 2: Berggrunn vesentlig av Biotittgranitt (403 prøver)

Område 3: Berggrunn vesentlig av Lavabergarter (Trackytt og Basalter 136).

Område 4: Berggrunn vesentlig av Aplittisk granitt og Q-feltpatporfyr (87 prøver)

Område 5: Berggrunn vesentlig av Kambro-silurske bergarter (394 prøver)

	Hele området			Område 1			Område 2			Område 3			Område 4			Område 5		
	$\bar{X}$	M	SD	$\bar{X}$	M	SD	$\bar{X}$	M	SD	$\bar{X}$	M	SD	$\bar{X}$	M	SD	$\bar{X}$	M	SD
Cu	33	12	610	10	9	5	12	11	6	14	11	9	14	11	13	72	16	1030
Mo	19	10	31	12	8	12	30	18	38	11	7	14	42	28	48	7	4	11
Pb	75	39	125	71	52	81	105	52	148	46	32	43	146	70	258	43	28	55
Zn	308	155	609	178	118	243	279	180	390	210	115	356	281	180	319	402	180	895
Mn	5847	1300	11586	5205	2048	7789	9362	2190	15993	3444	950	6619	9222	1800	14453	2601	937	4434
Fe %	2,61	1,95	2,16	2,79	2,60	1,72	3,16	2,50	2,73	2,11	1,80	1,27	2,84	2,50	2,26	2,11	1,80	1,54

$$\bar{X}: \text{aritmetisk gjennomsnitt} \frac{1}{m} \sum_{1}^m X$$

$$SD: \text{standard avvik} \sqrt{\frac{(X_1 - \bar{X})^2 + (X_n - \bar{X})^2}{n-1}}$$

M: medianverdi 50 prosent på Kumulativ frekvensfordeling

## Scattergram

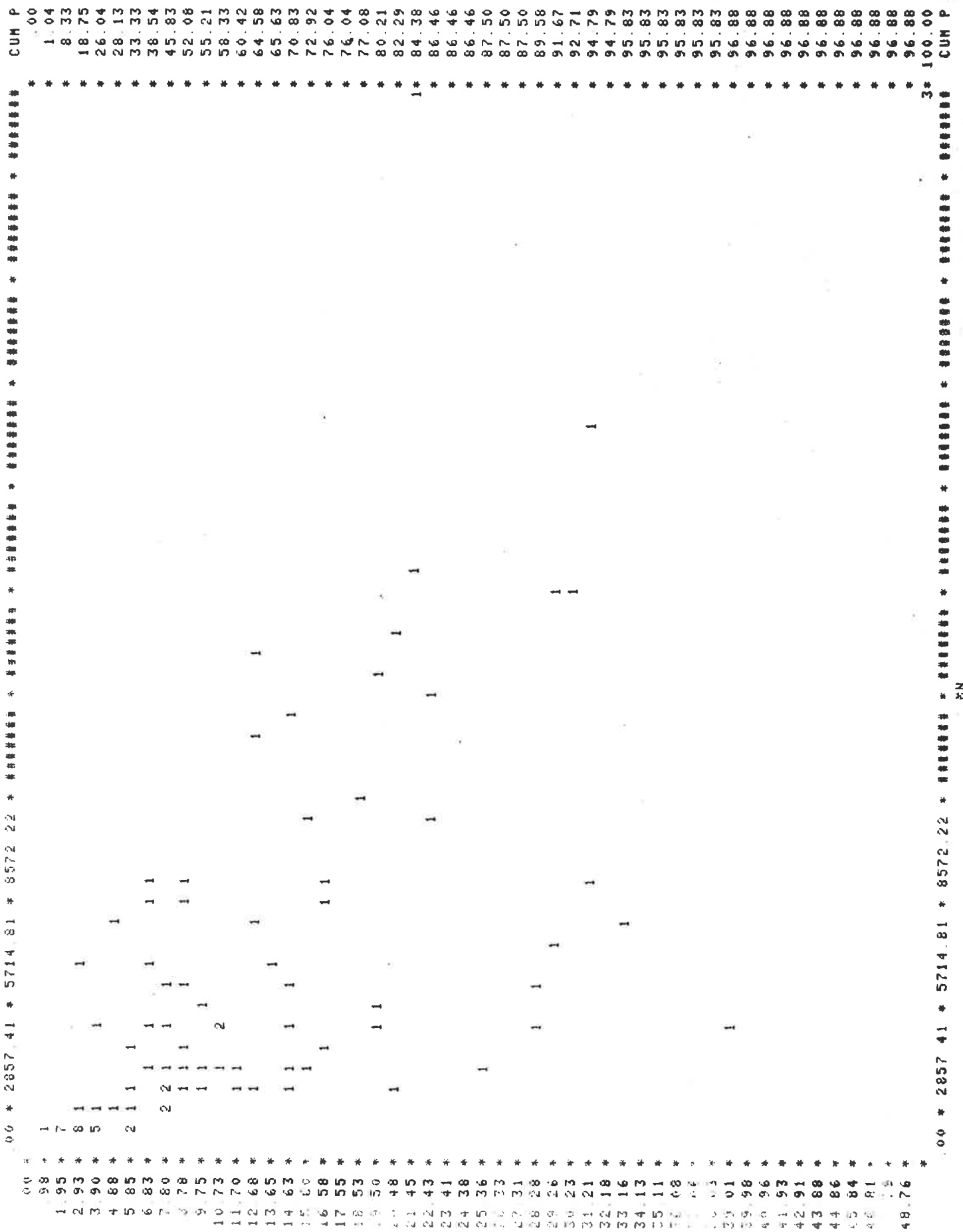
## Hele Finnmarkområdet

## Scattergram

## Hele Finnemarkområdet

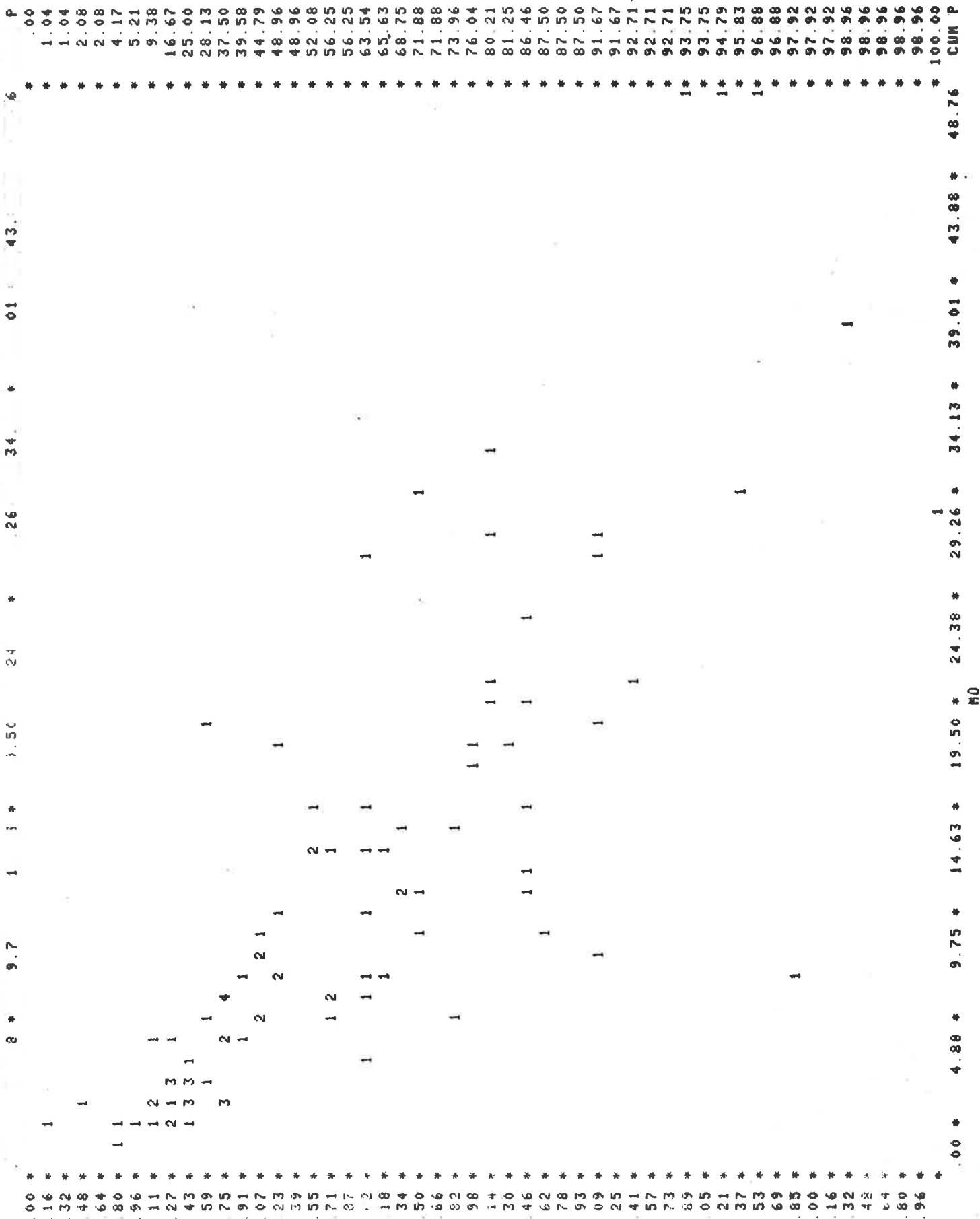
## Scattergram

## Område 1 (Monzodioritt)



## Scattergram

Område 1 (Monzodioritt)

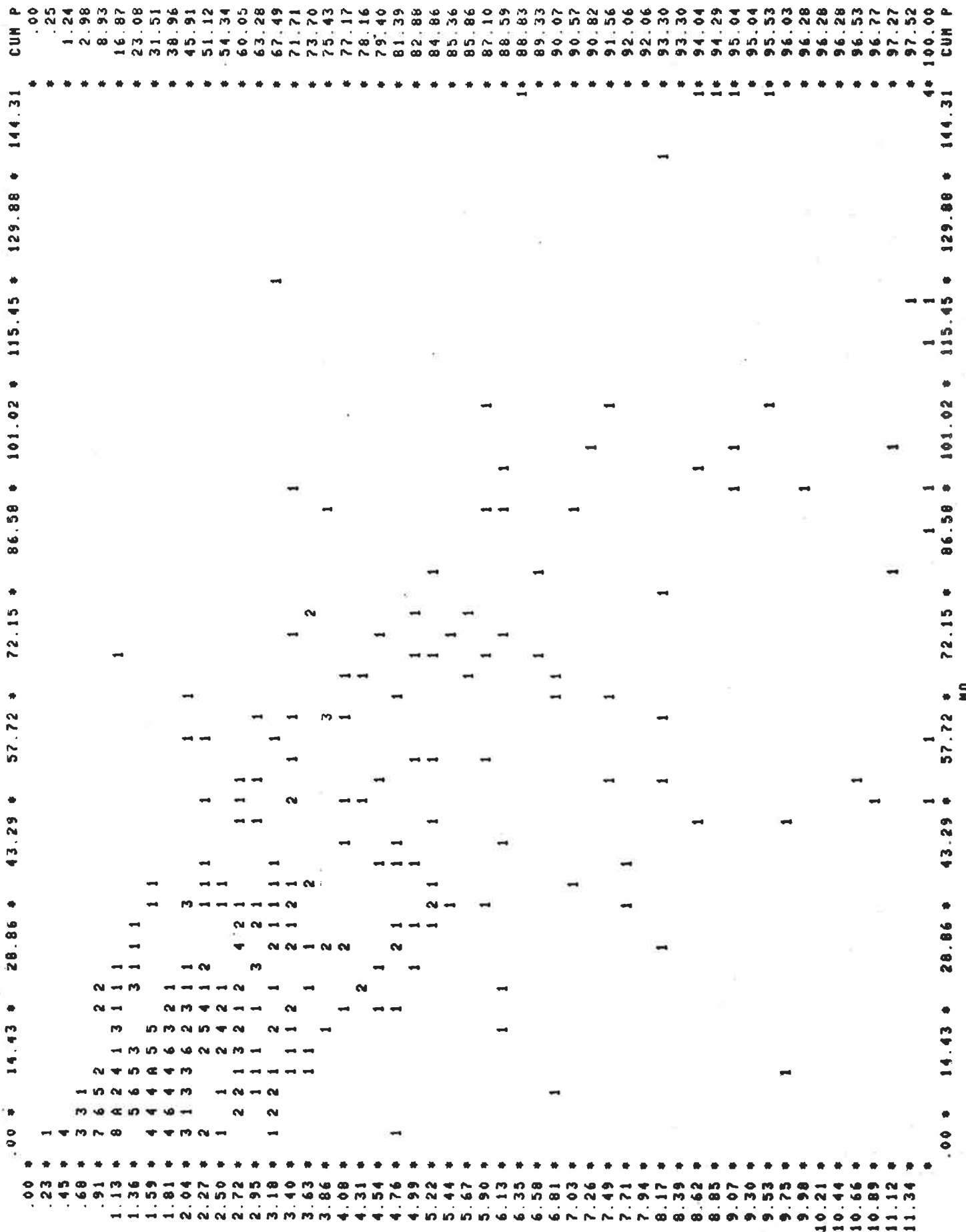


## Scattergram

## Område 2 (Biotittgranitt)

## Scattergram

Område 2 (Biotittgranitt)

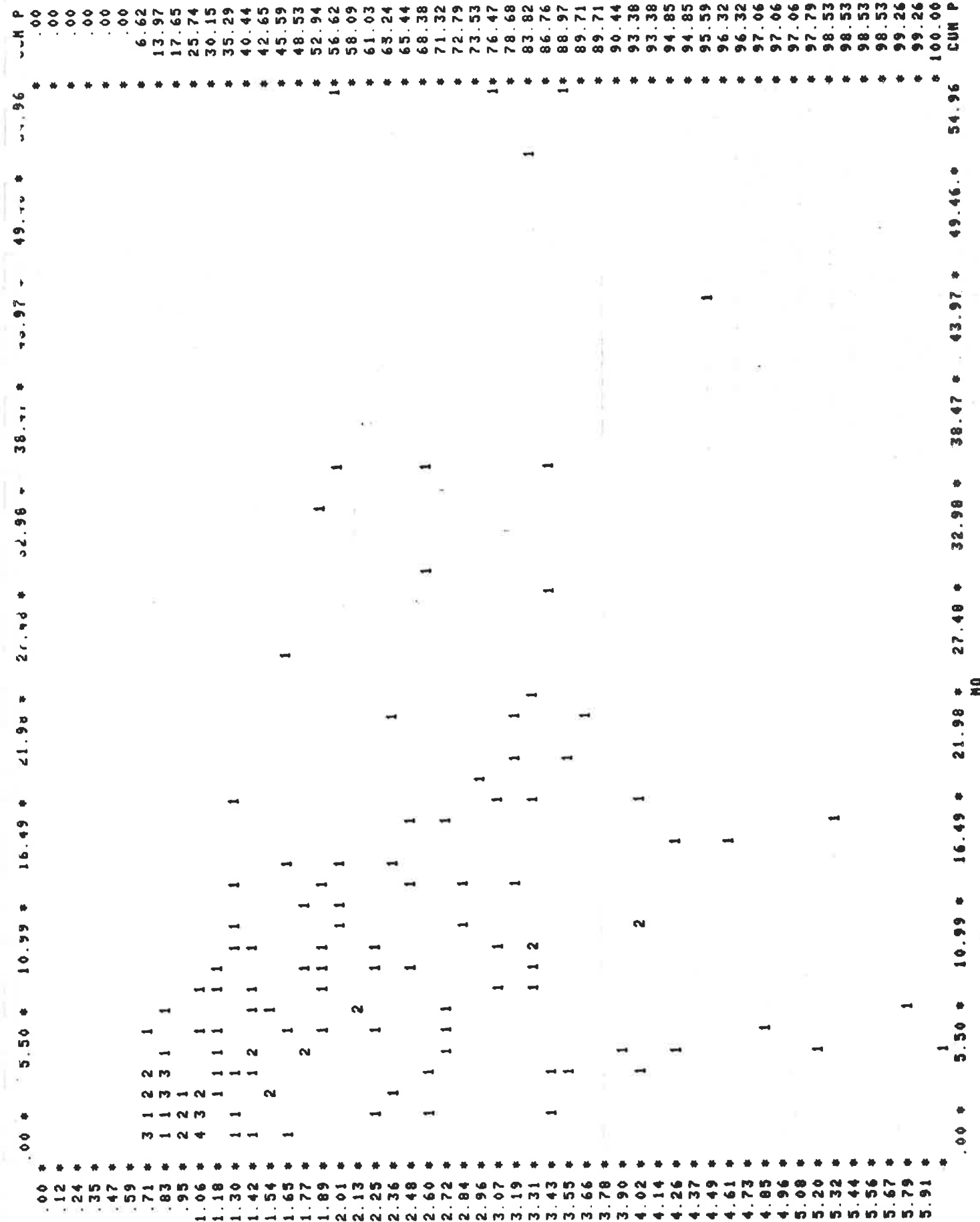


## Scattergram

### Område 3. Lavabergarter (Træklytt og Basalter)

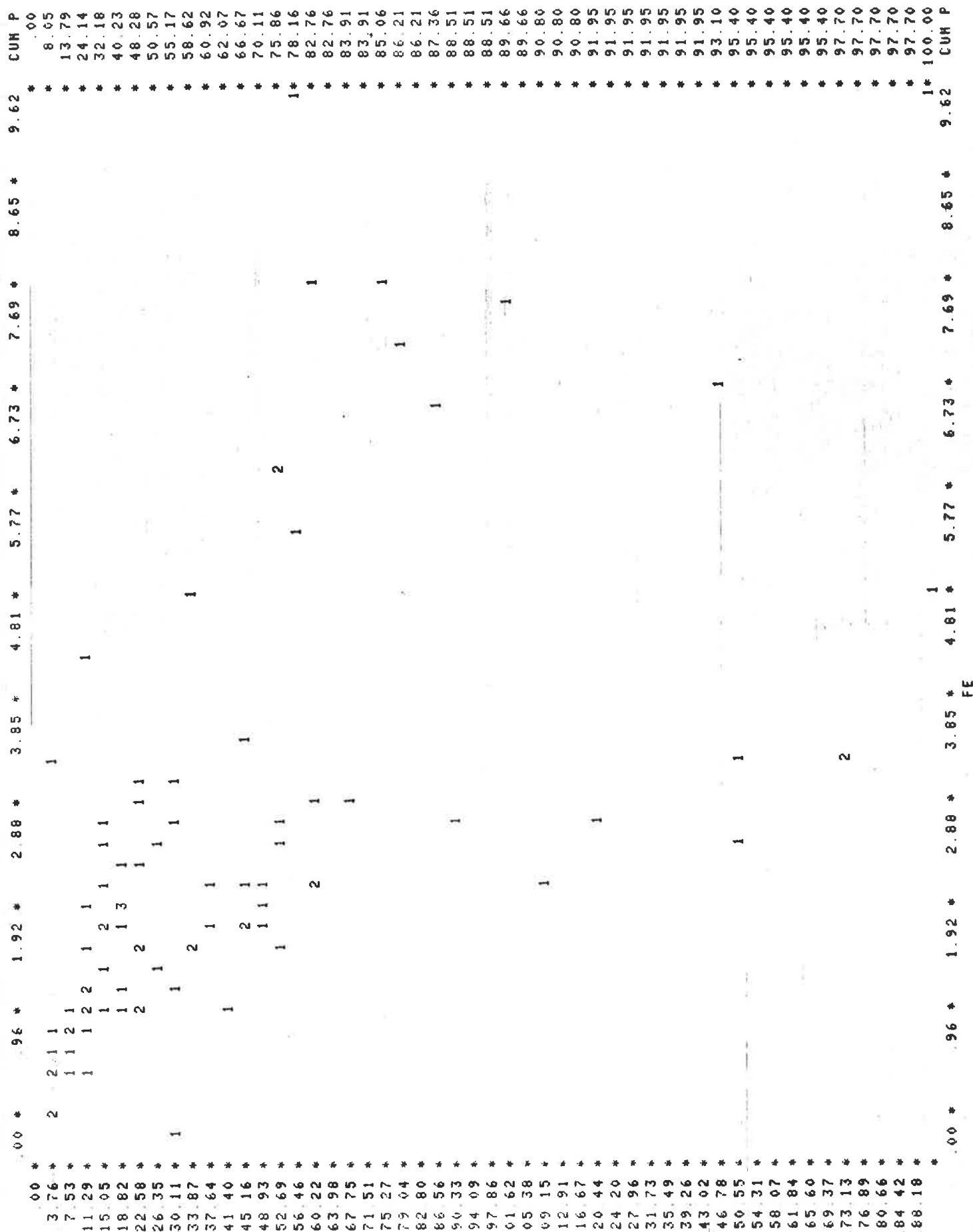
## Scattergram

### Område 3. Lavabergarter (Trackytt og Basalter)

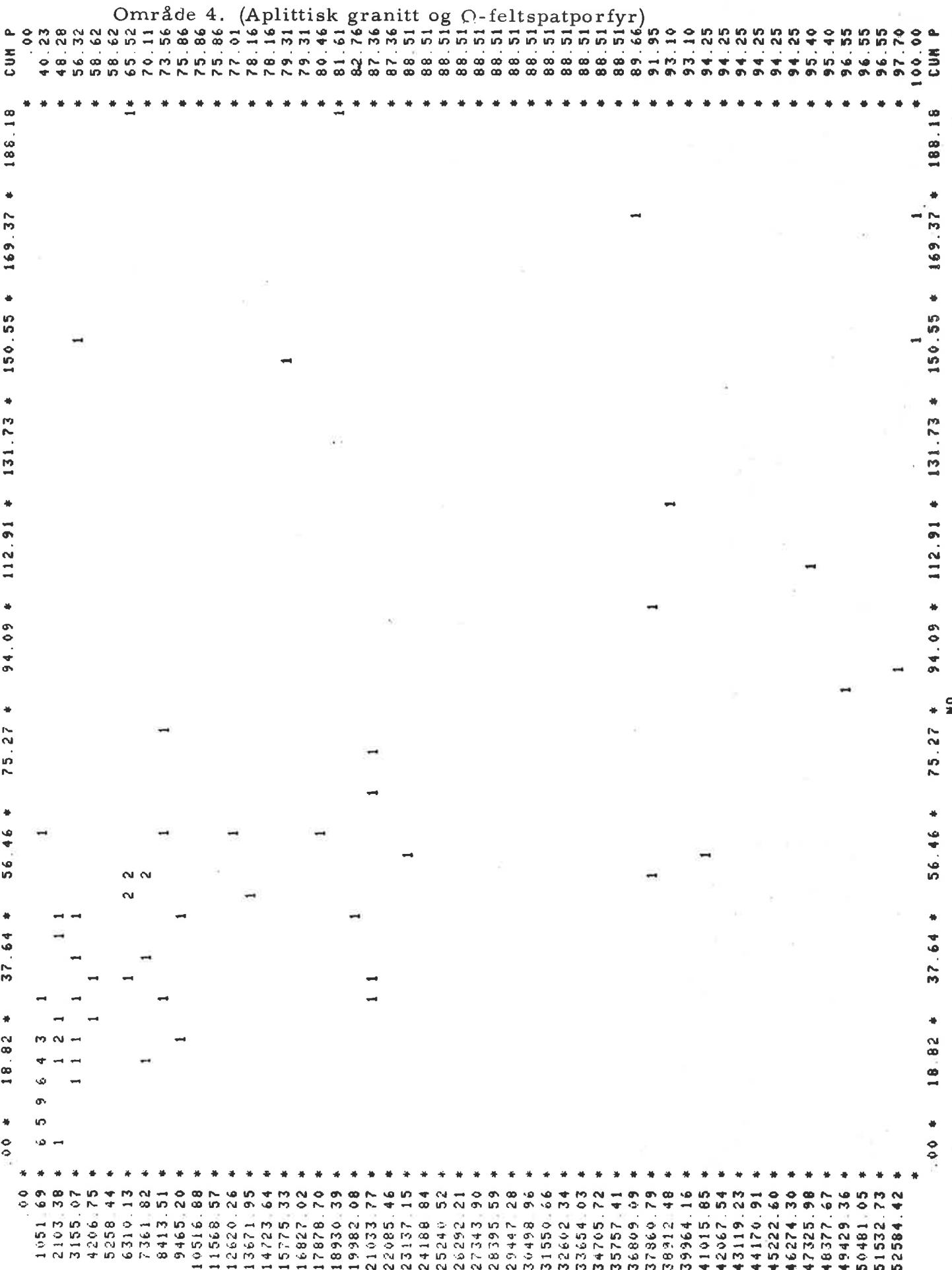


## Scattergram

#### Område 4. (Aplittisk granitt og Q-feltspatporfyr)



## Scattergram



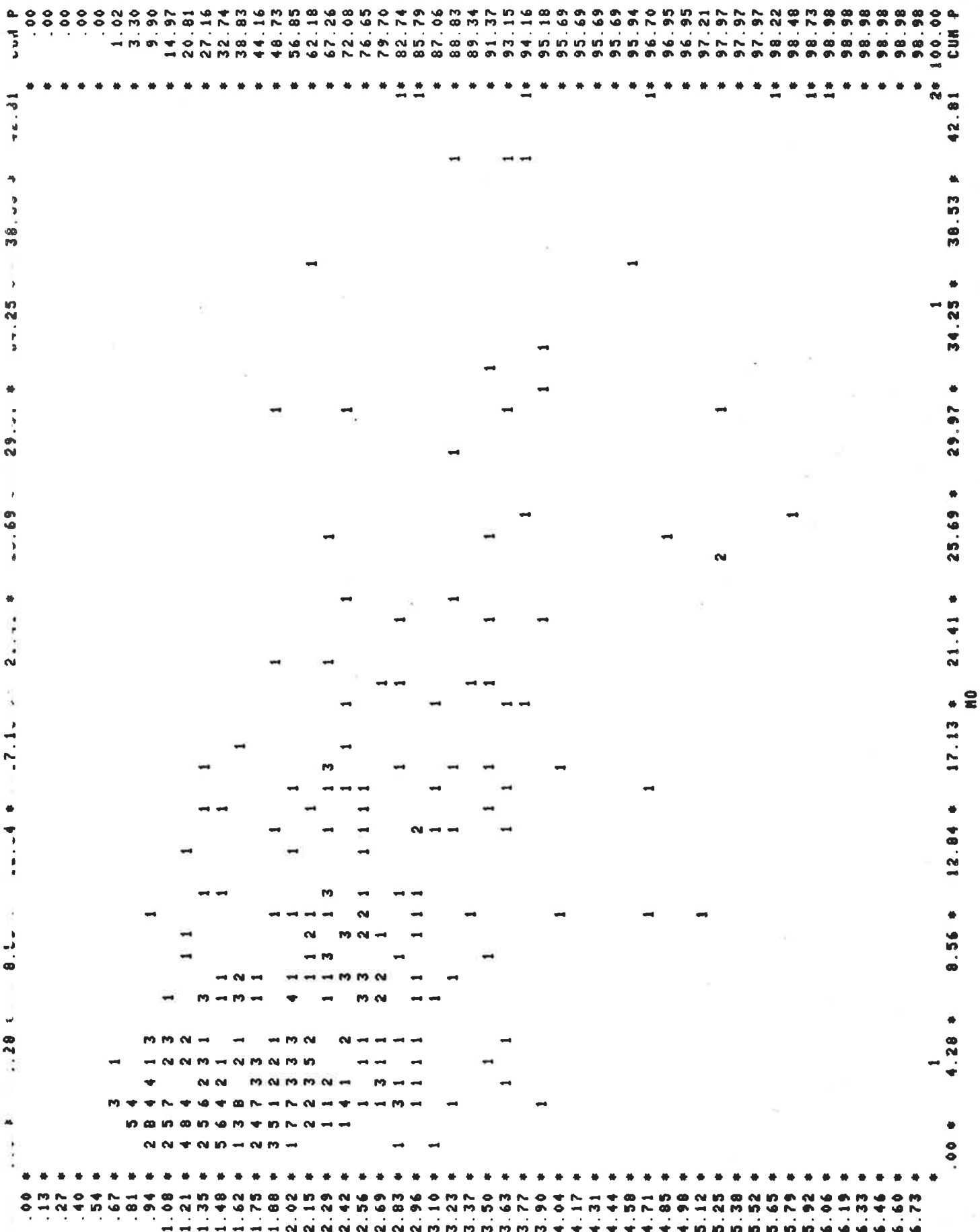
## Scattergram

Område 5. (Kambro-silurske bergarter)

MN	.00 *	4.28 *	8.56 *	12.84 *	17.13 *	21.41 *	25.69 *	29.97 *	34.25 *	38.53 *	42.81 *	CUM P
318.10 *	8	H	6	8	4	2	2	1	1	1	1	.00
636.21 *	8	H	4	6	8	2	2	2	1	1	1	18.02
954.31 *	6	9	4	2	2	3	5	2	2	1	1	38.07
1272.41 *	2	7	8	5	3	2	2	1	1	1	1	50.00
1590.52 *	3	5	2	3	1	1	1	1	1	1	1	57.87
1908.62 *	1	1	2	1	1	3	1	1	1	1	1	62.69
2226.72 *	2	3	1	1	1	1	1	1	1	1	1	65.74
2544.83 *	5	1	2	2	1	2	1	1	1	1	1	68.02
2862.93 *	1	4	2	1	1	1	1	2	1	1	1	71.57
3181.03 *	1	1	1	1	1	1	1	1	1	1	1	75.63
3499.14 *	3	1	1	2	1	1	1	1	1	1	1	77.16
3817.24 *	1	1	1	1	1	1	1	1	1	1	1	79.95
4135.34 *	1	1	1	1	1	1	1	1	1	1	1	81.98
4453.45 *	1	1	2	1	1	1	1	2	1	1	1	82.99
4771.55 *	2	1	1	1	1	1	1	1	1	1	1	84.77
5089.66 *	2	1	1	1	1	1	1	1	1	1	1	85.28
5407.76 *	1	1	1	1	1	1	1	1	1	1	1	86.55
5725.86 *	1	1	2	1	1	1	1	1	1	1	1	87.82
6043.97 *	1	2	1	1	1	1	1	1	1	1	1	88.32
6362.07 *	1	1	1	1	1	1	1	1	1	1	1	89.59
6680.17 *	1	1	1	1	1	1	1	1	1	1	1	89.59
6998.28 *	1	1	1	1	1	1	1	1	1	1	1	89.85
7316.38 *	1	1	1	1	1	1	1	1	1	1	1	90.10
7634.48 *	1	1	1	1	1	1	1	1	1	1	1	91.12
7952.59 *	1	1	1	1	1	1	1	1	1	1	1	91.62
8270.69 *	1	1	1	1	1	1	1	1	1	1	1	92.64
8588.79 *	1	1	1	1	1	1	1	1	1	1	1	93.40
8906.90 *	1	1	1	1	1	1	1	1	1	1	1	93.65
9225.00 *	1	1	1	1	1	1	1	1	1	1	1	93.91
9543.10 *	1	1	1	1	1	1	1	1	1	1	1	94.42
9861.21 *	1	1	1	1	1	1	1	1	1	1	1	94.67
10179.31 *	1	1	1	1	1	1	1	1	1	1	1	95.18
10497.41 *	1	1	1	1	1	1	1	1	1	1	1	95.94
10815.52 *	1	1	1	1	1	1	1	1	1	1	1	96.19
11133.62 *	1	1	1	1	1	1	1	1	1	1	1	96.70
11451.72 *	1	1	1	1	1	1	1	1	1	1	1	97.46
11769.83 *	1	1	1	1	1	1	1	1	1	1	1	97.46
12087.93 *	1	1	1	1	1	1	1	1	1	1	1	97.46
12406.04 *	1	1	1	1	1	1	1	1	1	1	1	97.46
12724.14 *	1	1	1	1	1	1	1	1	1	1	1	97.72
13042.24 *	1	1	1	1	1	1	1	1	1	1	1	97.72
13360.35 *	1	1	1	1	1	1	1	1	1	1	1	97.72
13678.45 *	1	1	1	1	1	1	1	1	1	1	1	100.00
13996.55 *	1	1	1	1	1	1	1	1	1	1	1	100.00
14314.66 *	1	1	1	1	1	1	1	1	1	1	1	100.00
14632.76 *	1	1	1	1	1	1	1	1	1	1	1	100.00
14950.86 *	1	1	1	1	1	1	1	1	1	1	1	100.00
15268.97 *	1	1	1	1	1	1	1	1	1	1	1	100.00
15587.07 *	1	1	1	1	1	1	1	1	1	1	1	100.00
15905.17 *	1	1	1	1	1	1	1	1	1	1	1	100.00

## Scattergram

Område 5. (Kambro-silurske bergarter)



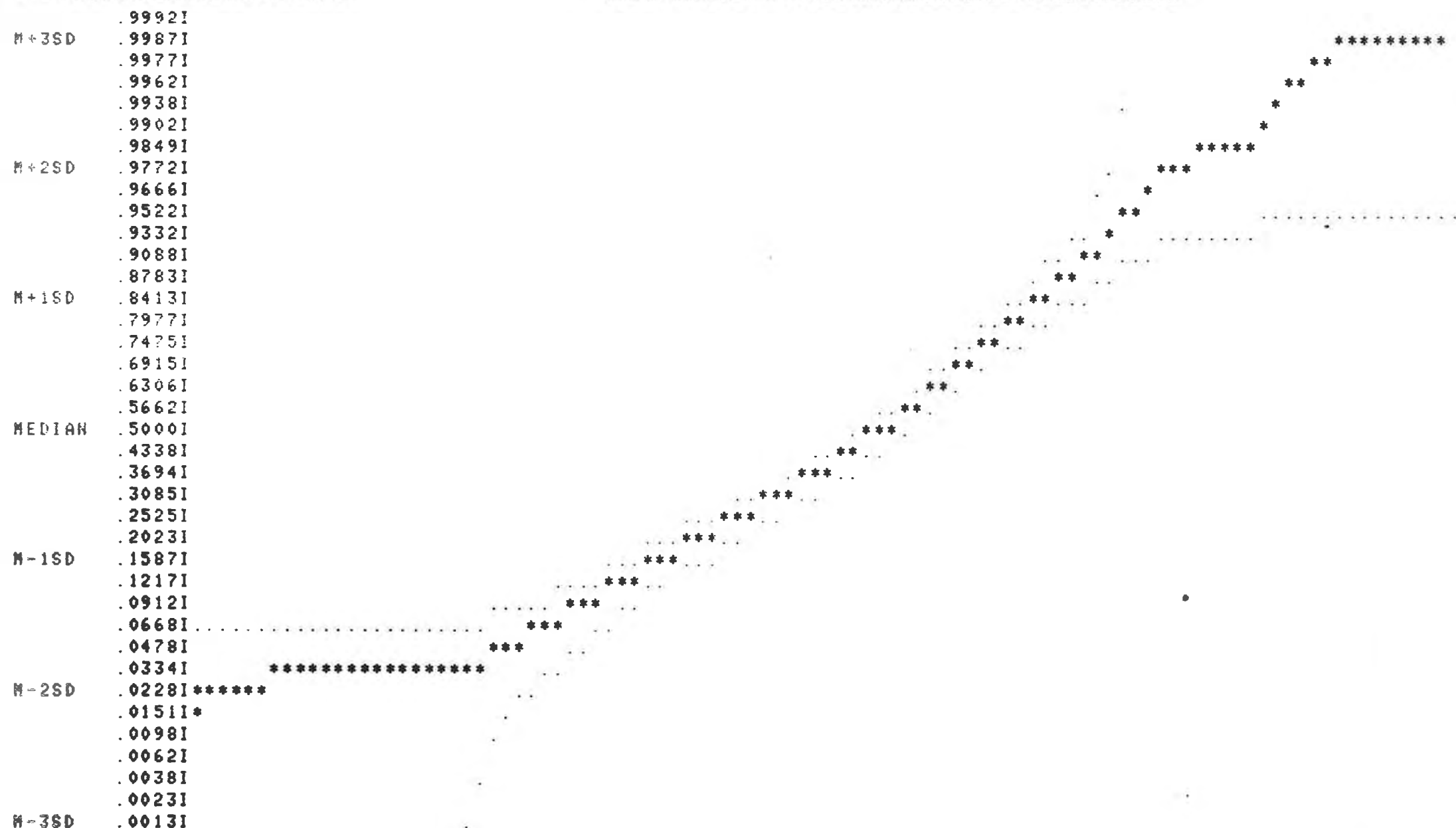
VARIABEL: MO/MN \*10000.00

OPPDRAg: OPPDRAG 1656.

-----  
 .9992I  
 M+3SD .9987I  
 .9977I  
 .9962I  
 .9938I  
 .9902I  
 .9849I  
 M+2SD .9772I  
 .9666I  
 .9522I  
 .9332I  
 .9088I  
 .8783I  
 M+1SD .8413I  
 .7977I  
 .7475I  
 .6915I  
 .6306I  
 .5662I  
 MEDIAN .5000I  
 .4338I  
 .3694I  
 .3085I  
 .2525I  
 .2023I  
 M-1SD .1587I  
 .1217I  
 .0912I  
 .0668I  
 .0478I  
 .0334I\*\*\*\*\*  
 M-2SD .0228I\*  
 .0151I  
 .0098I  
 .0062I  
 .0038I  
 .0023I  
 M-3SD .0013I  
 -----  
 0. INT.GR. : 1.3 1.8 2.4 3.2 4.2 5.6 7.5 10 13 18 24 32 42 56 75 100 130 180 240 320 420 560 750 1000 INF

VARIABEL: MO/FE \* 10.00

OPPDRAg: OPPDRAG 1656.



---I---

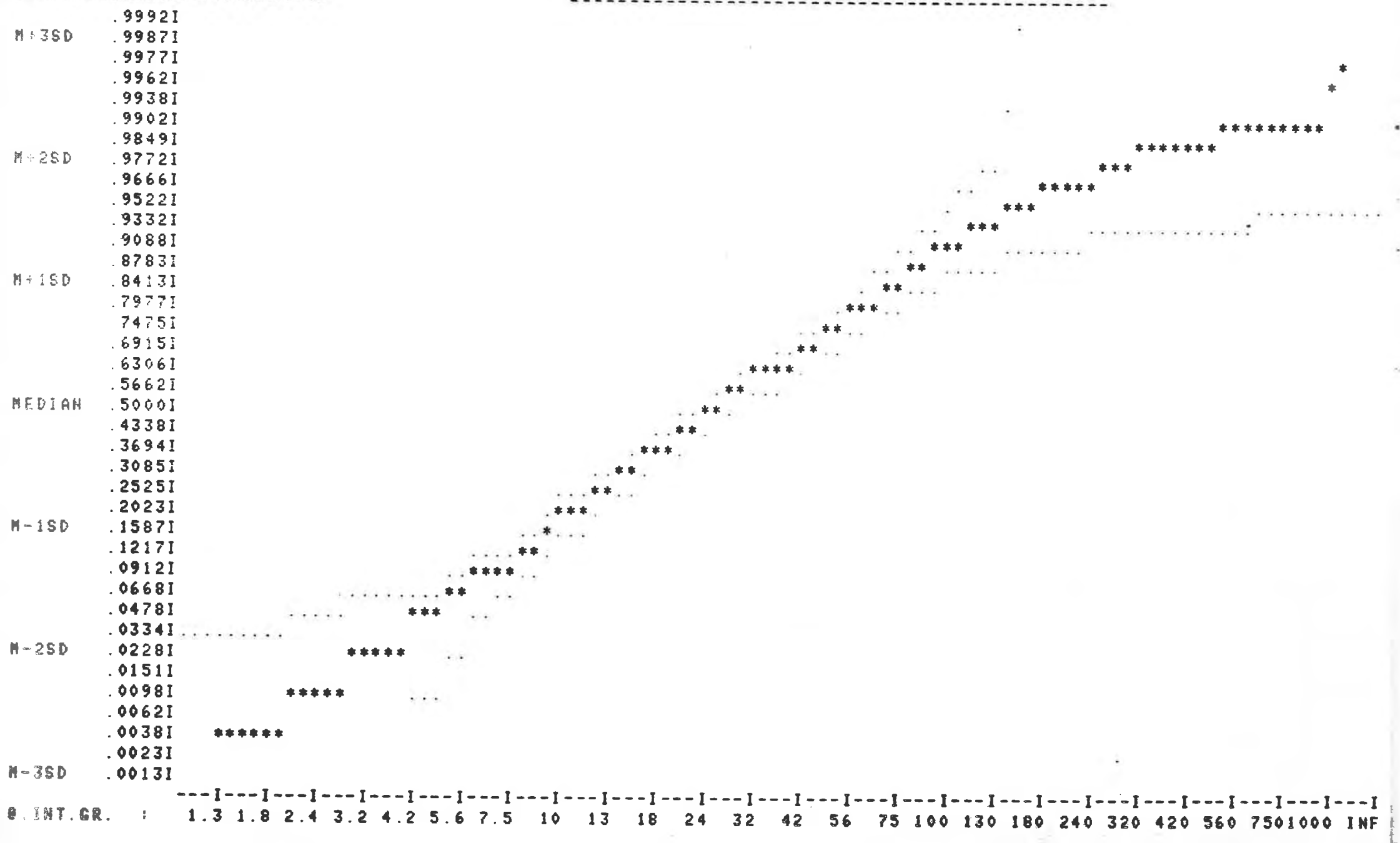
0. INT.GR. : 1.3 1.8 2.4 3.2 4.2 5.6 7.5 10 13 18 24 32 42 56 75 100 130 180 240 320 420 560 750 1000 INF





VARIABEL: PB/MN \* 1000.00

OPPDRAg: OPPDRAG 1656.



Oppdrag 1650/49 E. Bilag 19.

VARIABEL: PB/FE \* 1.00

OPPDRAK: OPPDRAG 1656.

The figure is a scatter plot illustrating the distribution of data points across seven statistical ranges. The x-axis represents the value of the data points, and the y-axis represents the frequency or density of points. The distribution is highly right-skewed, with most points falling between  $M-1SD$  and  $M+3SD$ , and a long tail extending to the right.

The ranges are defined as follows:

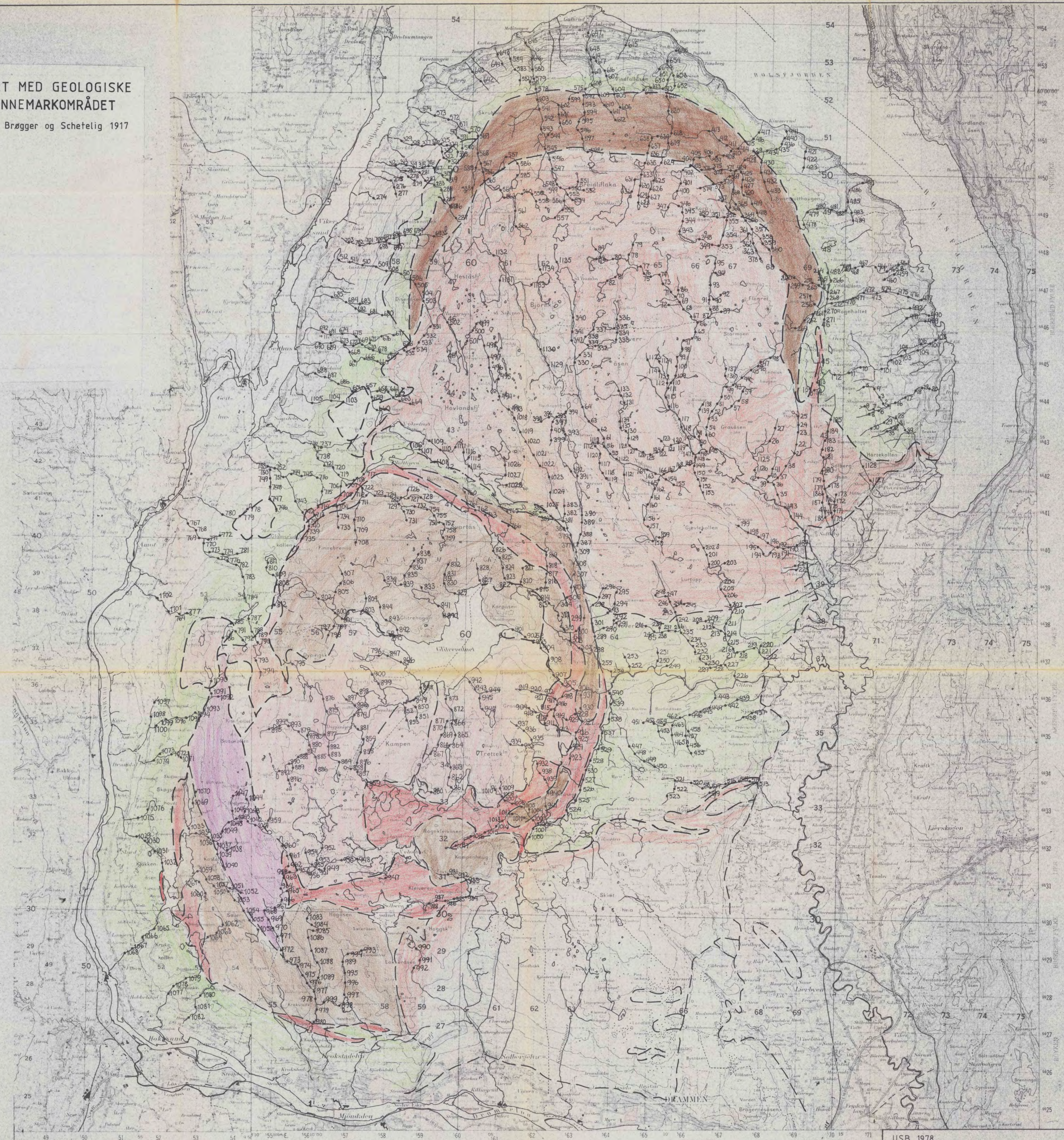
- $M-3SD$ : .9992I, .9987I, .9977I, .9962I, .9938I, .9902I, .9849I
- $M-2SD$ : .9772I, .9666I, .9522I, .9332I, .9088I, .8783I
- $M-1SD$ : .8413I, .7977I, .7475I, .6915I, .6306I, .5662I, .5000I, .4338I, .3694I, .3085I, .2525I, .2023I, .1587I, .1217I, .0912I, .0668I, .0478I, .0334I
- $MEDIAN$ : .0228I, .0151I, .0098I, .0062I, .0038I, .0023I, .0013I
- $M+1SD$ : .0013I, .0023I, .0038I, .0062I, .0098I, .0151I, .0228I
- $M+2SD$ : .0013I, .0023I, .0038I, .0062I, .0098I, .0151I, .0228I
- $M+3SD$ : .0013I, .0023I, .0038I, .0062I, .0098I, .0151I, .0228I

The plot shows a clear right-skewness, with the highest frequency of points occurring near the median and decreasing as the values move away from the center towards the extremes. The data points are represented by asterisks (\*).

PRØVENUMMERKART MED GEOLOGISKE  
GRENSER OVER FINNEMARKOMråDET

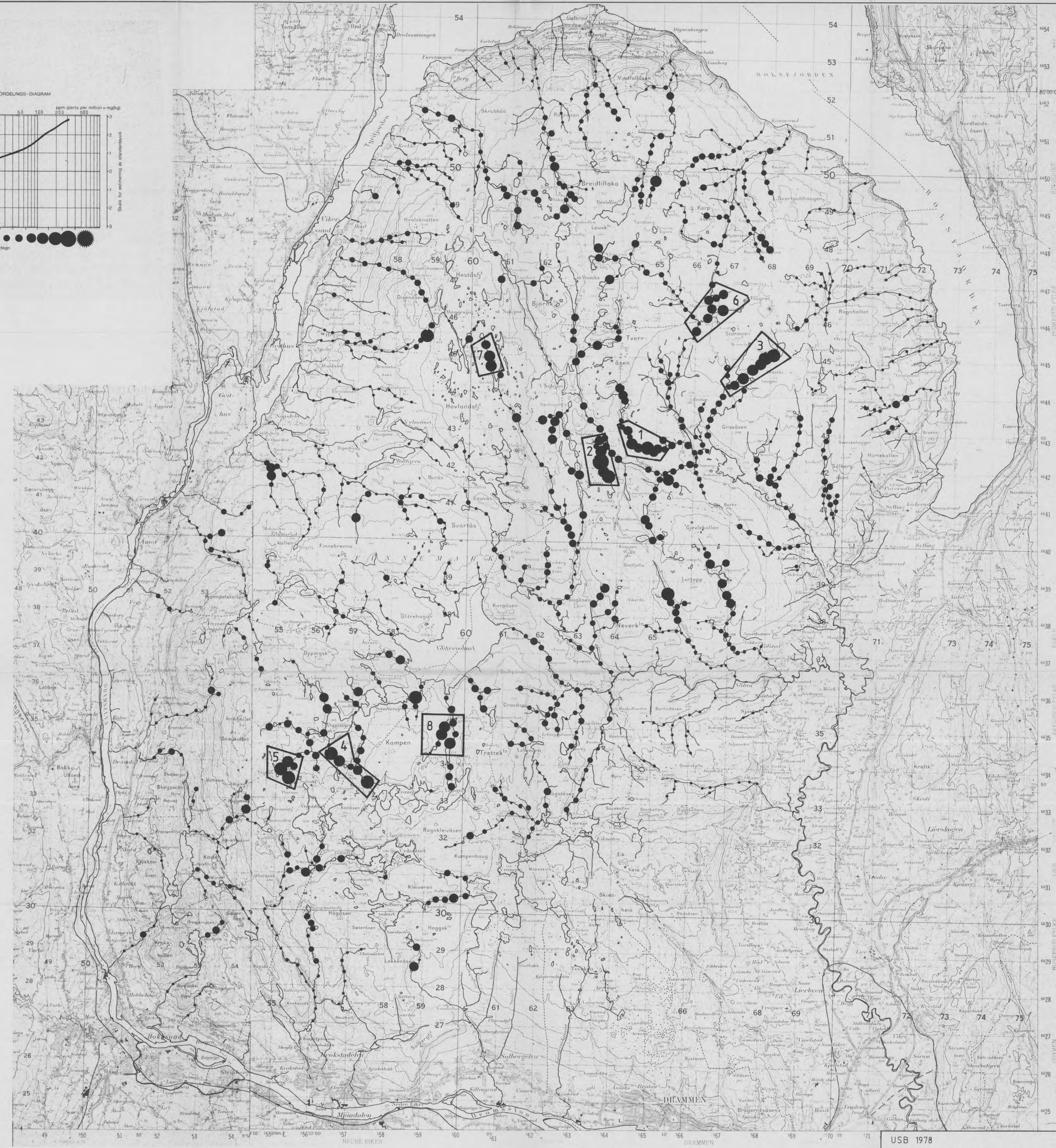
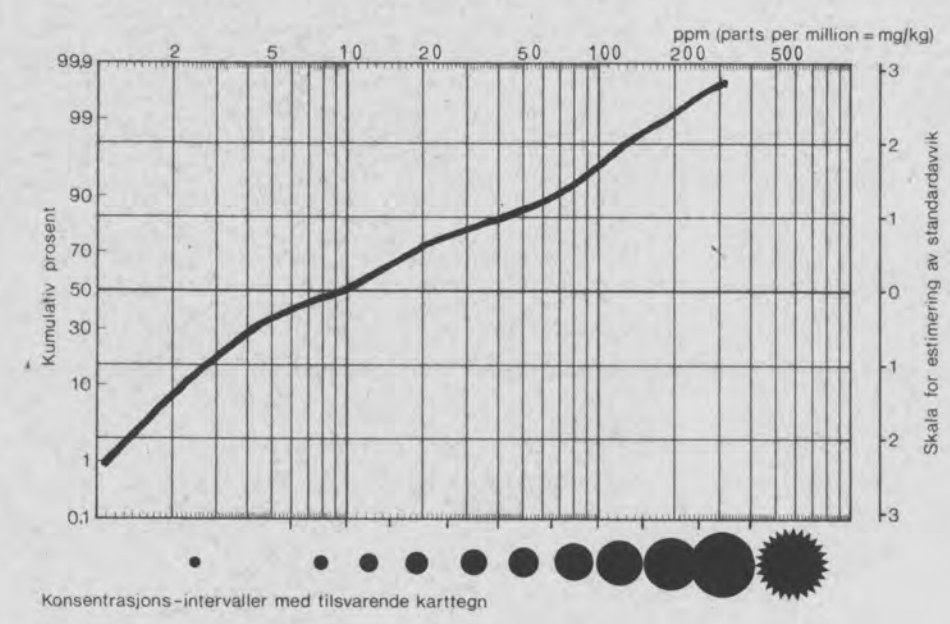
Geologiske grenser etter Brøgger og Schetelig 1917  
og Oftedahl 1953 og 1968

- [Green square] Kambro silur
- [Red square] Biotittgranitt
- [Orange square] Basalter
- [Purple square] Trackytt
- [Pink square] Aplittisk granitt
- [Light red square] Q-feltspatporfyr
- [Brown square] Monzodioritt

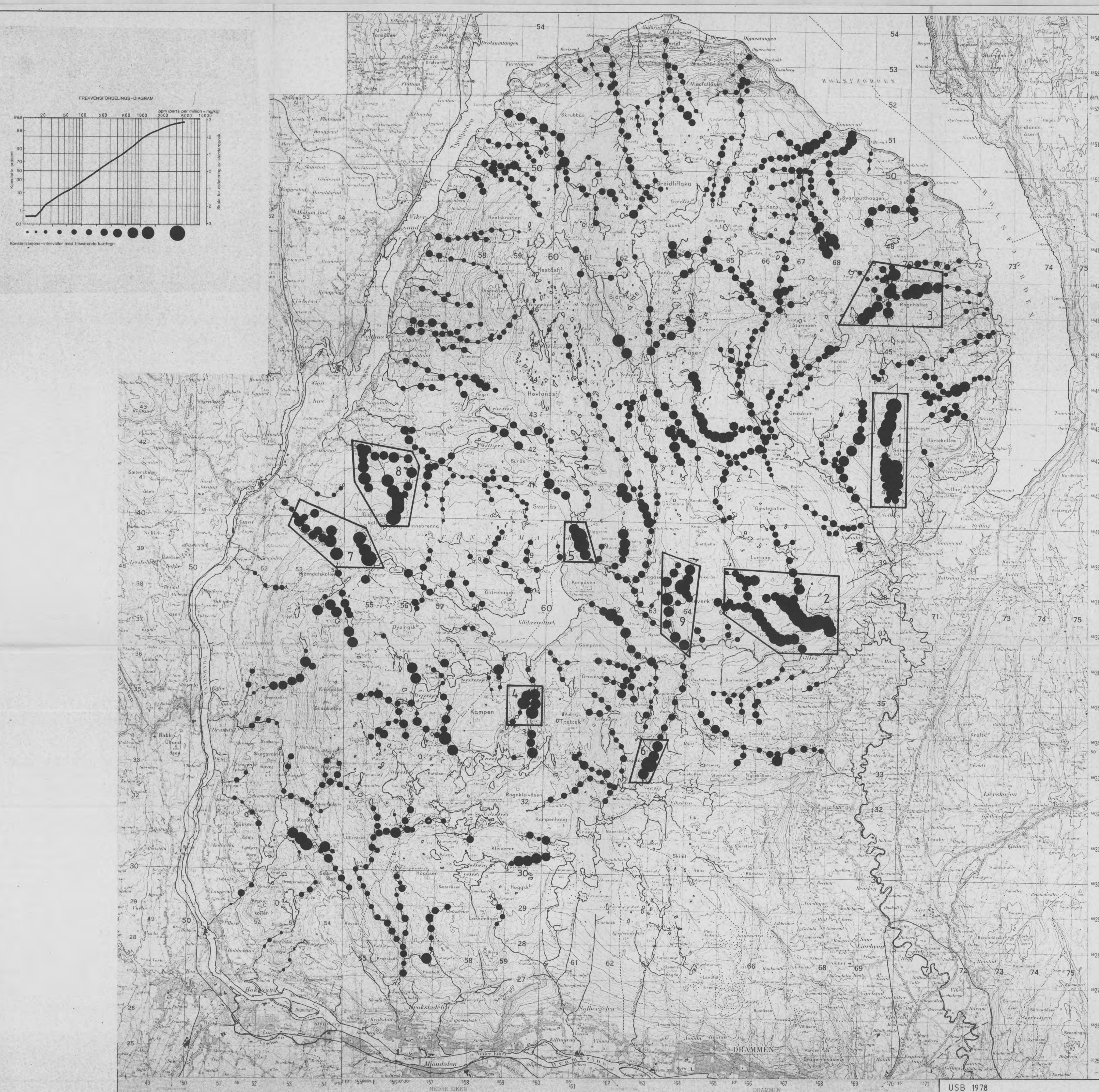


USB 1978	MÅLESTOKK	P.R.T.	T.V. 79
BEKKESEDIMENTER, PRØVENUMMERKART	TEGN.		T.W. 79
OSLO FELTET BUSKERUD FYLKE	TRAC.		T.W. 79
NORGES GEOLOGISKE UNDERSØKELSE	KFR.		T.V. 79
TRONDHEIM	TEGNING NR. 1650/49E-01		
KARTBLAD (AMS)			

## FREKVENSFORDELINGS-DIAGRAM



USB 1978	MÅLESTOKK	P.R.T.	T.V. 79
BEKKESEDIMENTER, HNO <sub>3</sub> -LØSELIG MO	TEGN	T.W. 79	
OSLO FELTET BUSKERUD FYLKE	TRAC	T.W. 79	
	KFR.	T.V. 79	
NORGES GEOLGISCHE UNDERSØKELSE			
TRONDHEIM	TEGNING NR.		KARTBLAD (AMS)
	1650/49E - 02		



USB 1978

## BEKKESEDIMENTER, $\text{HNO}_3$ -LØSELIG Zn

MÅLESTOKK	P.R.T.	T.V. 79
	TECHN	T.V. 79

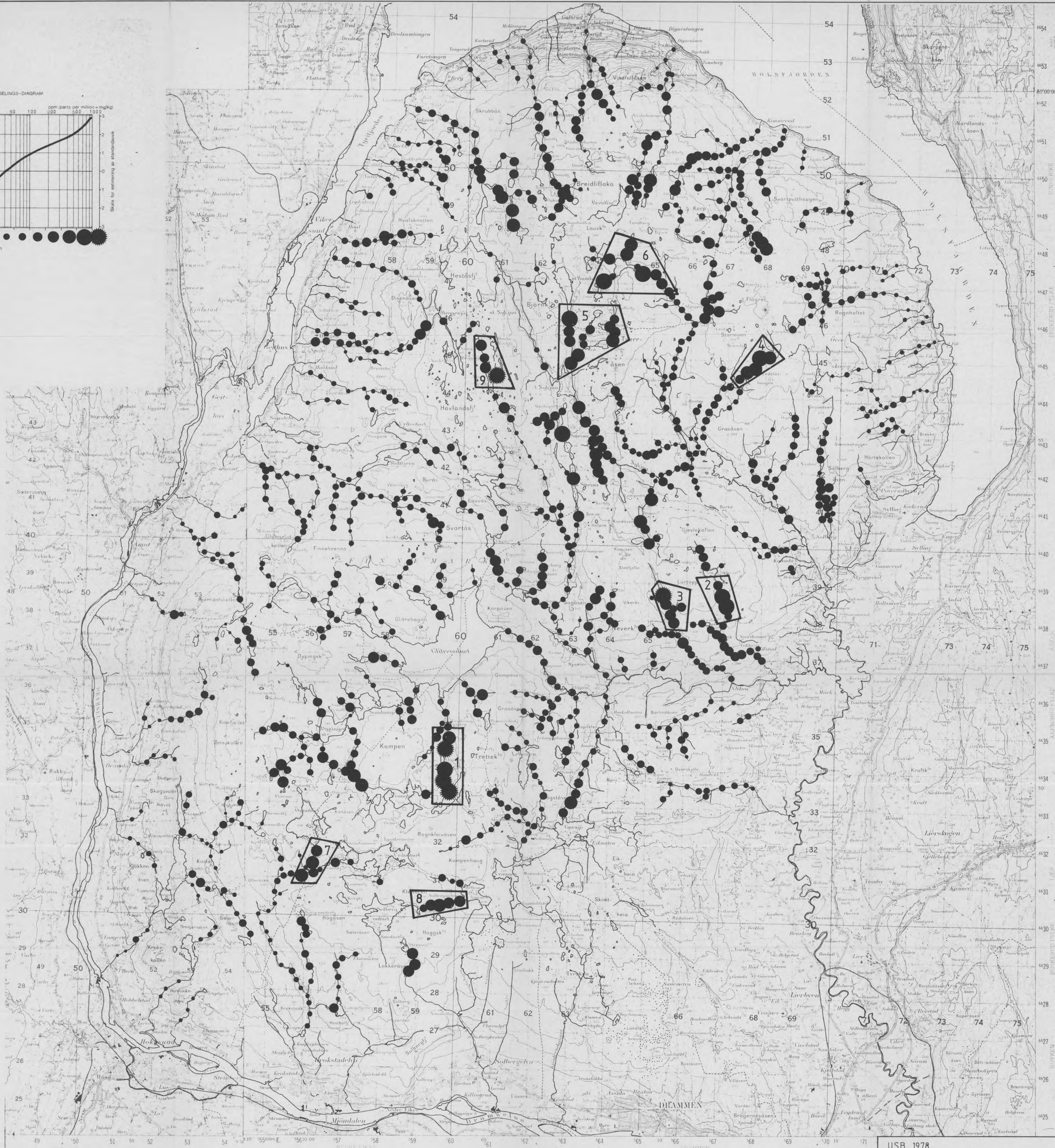
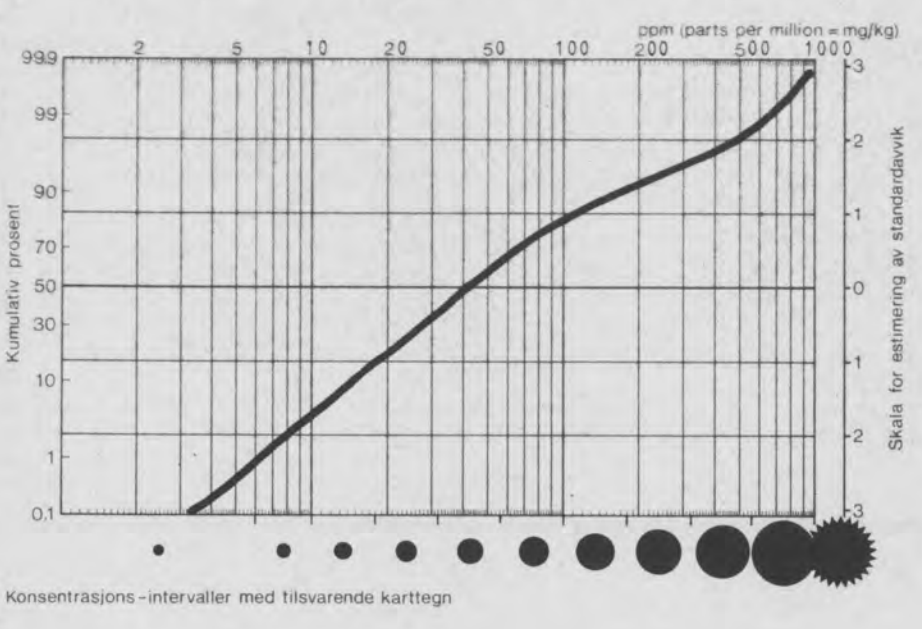
1:50 000	TEGN.	T.W. 79
	TRAC.	T.W. 79

OSLO FELTET BUSKERUD FYLKE  
NORGES GEOLOGISKE UNDERSØKELSE

# NORGES GEOLGISCHE UDDENSKRESE TRONDHJEM

1650/49E-03

FREKVENSFORDELINGS-DIAGRAM

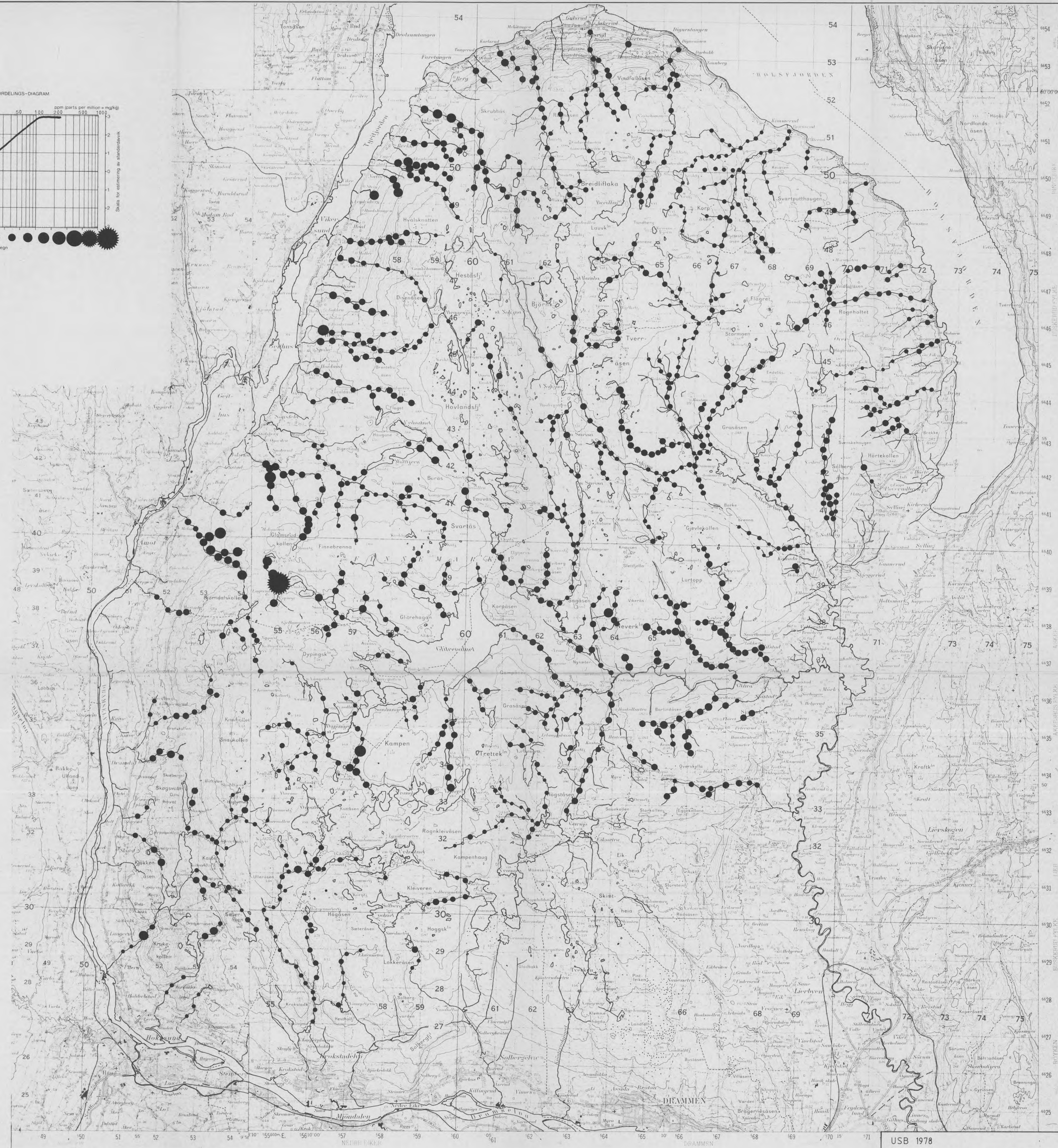
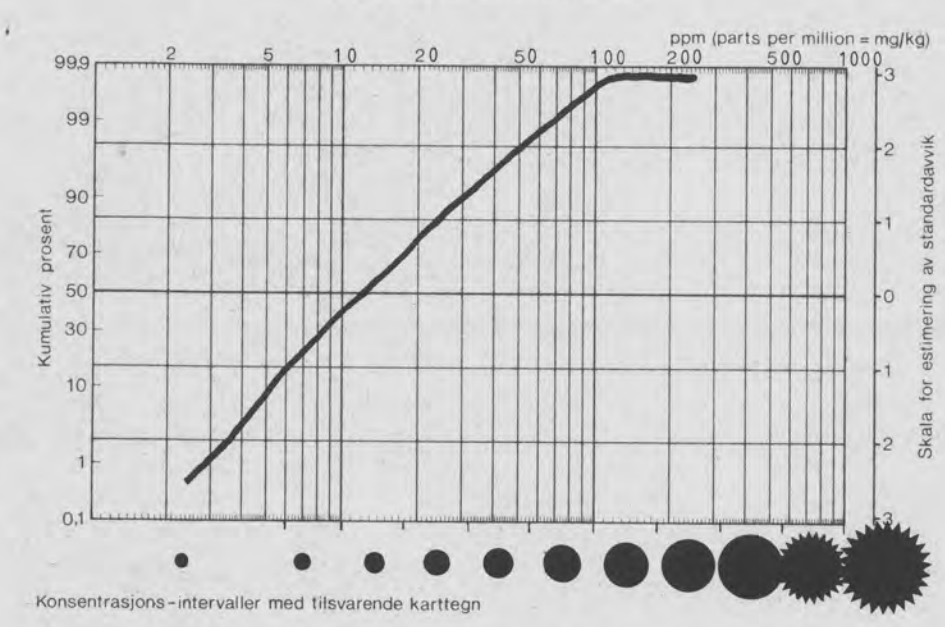


USB 1978  
BEKKESEDIMENTER, HNO<sub>3</sub>-LØSELIG Pb  
OSLO FELTET BUSKERUD FYLKE  
NORGES GEOLGISCHE UNDERSØKELSE  
TRONDHEIM

MÅLESTOKK	P.R.T.	T.V. 79
TEGN.	T.W. 79	
1:50 000	TRAC	T.W. 79
	KFR.	T.V. 79

TEGNING NR. KARTBLAD (AMS)  
1650/49E-04

## FREKVENSFORDELINGS-DIAGRAM



USB 1978

BEKKESEDIMENTER,  $\text{HNO}_3$ -LØSELIG CU

OSLO FELTET BUSKERUD FYLKE

NORGES GELOGISKE UNDERSØKELSE

TRONDHEIM

MÅLESTOKK P.R.T. T.V. 79

TEGN T.W. 79

1:50 000 TRAC T.W. 79

K.F.R. T.V. 79

TEGNING NR KARTBLAD (AMS)

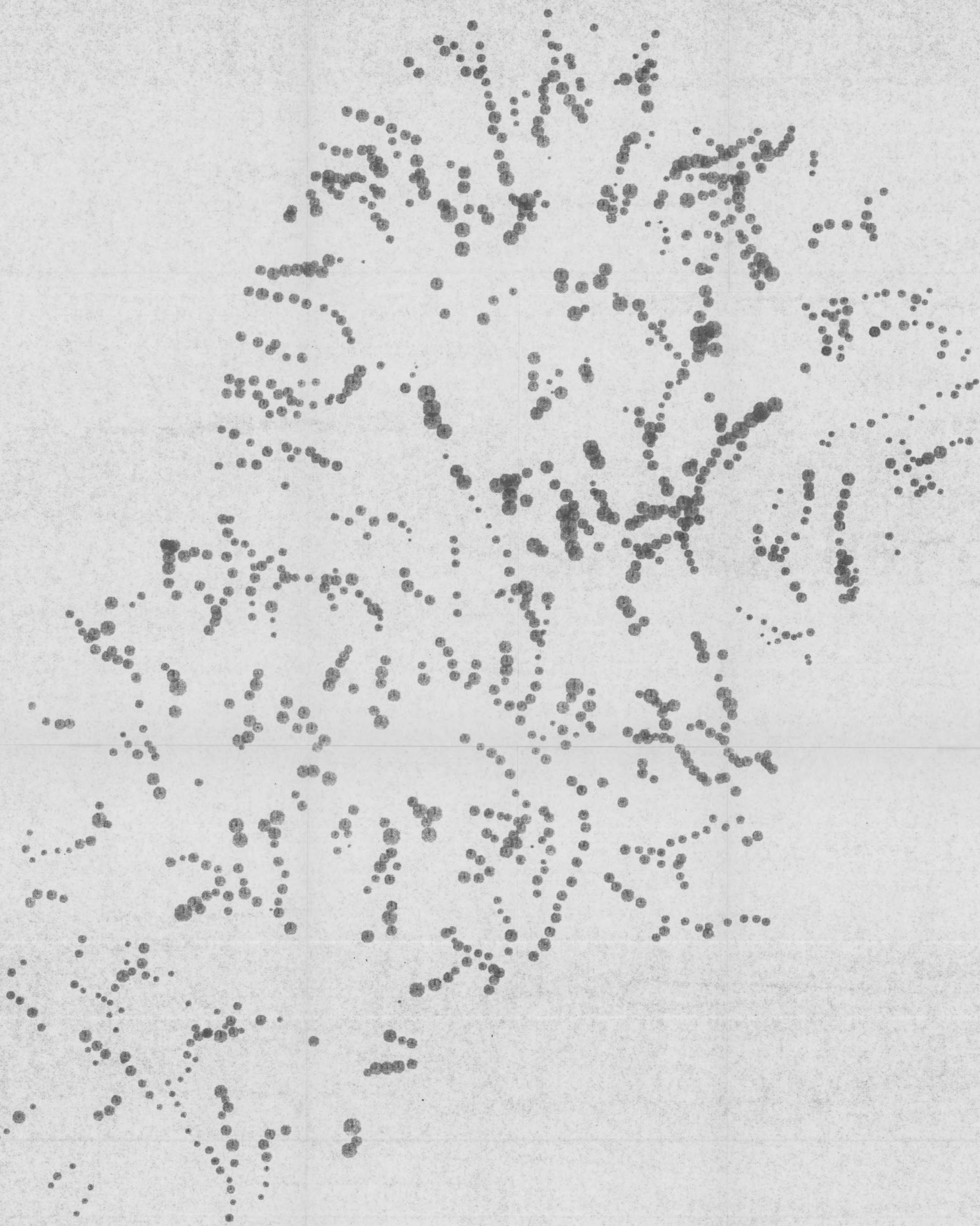
1650 / 49E - 05



SYMBOL : . . ● ● ● ● ● ● ○ ○  
ØVRE GRENSE : 560 1000 1800 3200 5600 10000 18000 > 18000

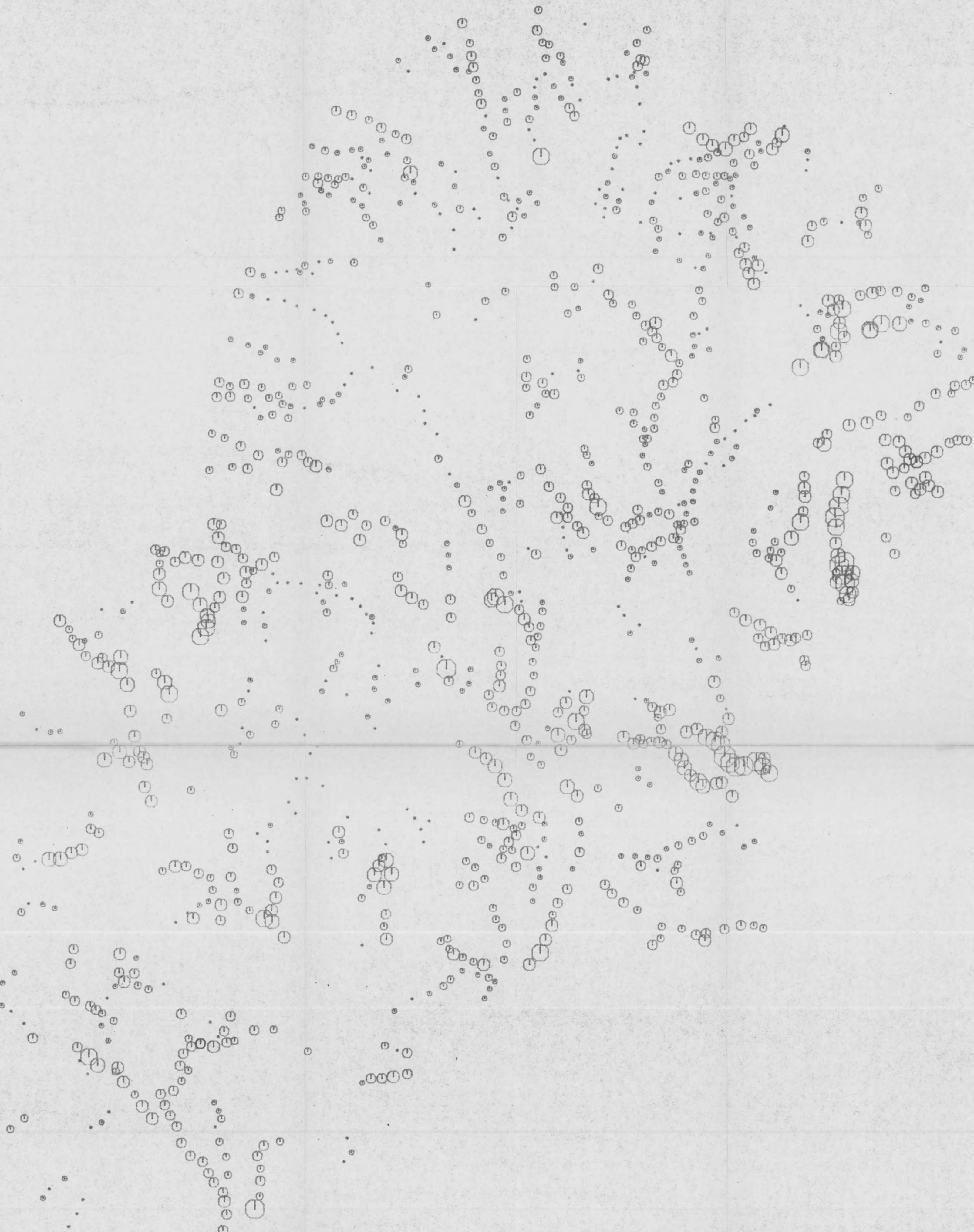
USB 1978  
BEKKESEDIMENTER HNO<sub>3</sub> LØSELIG Mn  
FINNEMARKA  
OSLOFELTET BUSKERUD FYLKE  
NORGES GEOLOGISKE UNDERSØKELSE  
TRONDHEIM

MÅLESTOKK		
1:50 000		
TEGNING NR.	KARTBLAD NR.	
1650/49E-6	1815 III 1814 IV	
	1714 I	



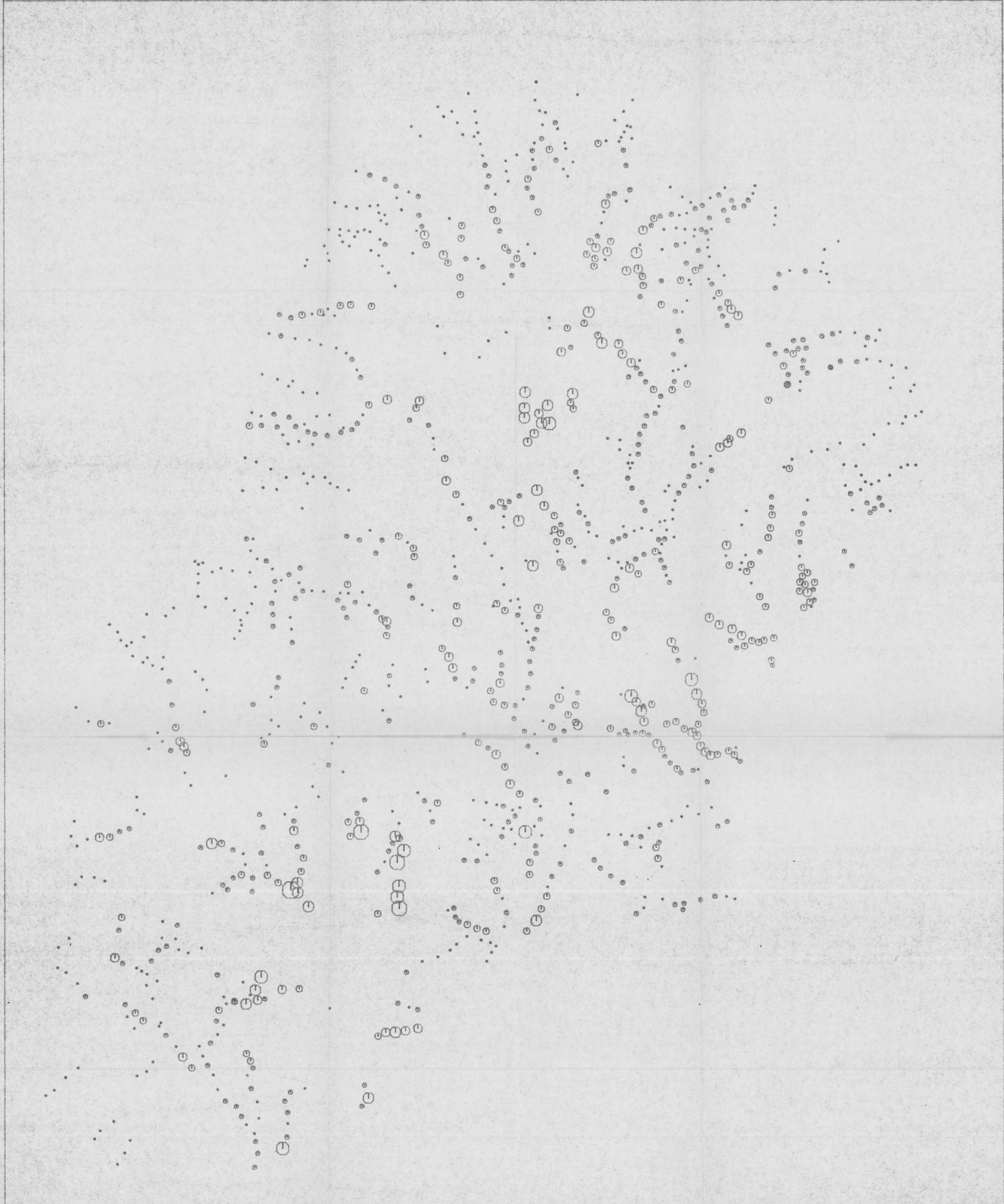
SYMBOL : . \* ● ◉ ◊ ◇ ◆ ◎  
OVRE GRENSE : 0.56 1.00 1.60 3.20 5.60 10.00 > 10.00 %

U.S.B. 1978 BEKKESEDIMENTER HNO <sub>3</sub> LØSELIG %Fe FINNEMARKA OSLOFELTET BUSKERUD FYLKE	MÅLESTOKK: 1:50 000		



SYMBOL :	.	•	◎	○	○	○	○	○	○	○	○
ØVRE GRENSE :	32	56	100	150	320	560	1000	1800	3200	3200	> 3200

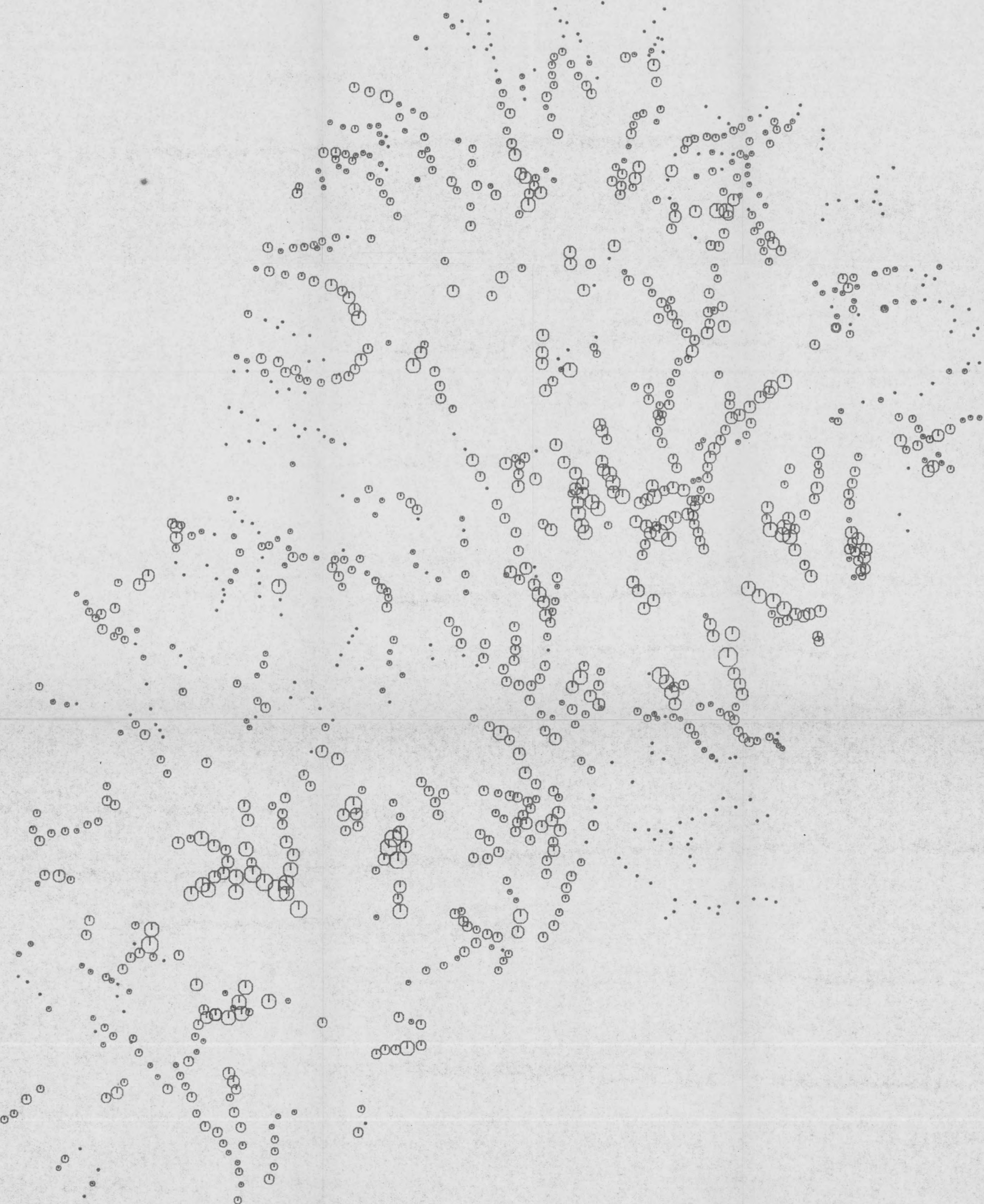
USB 1978		MÅLESTOKK	OBS.	
BEKKESEDIMENTER HNO <sub>3</sub> LØSELIG	Zn	1 50 000	TEGN.	
FINNEMARKA	Fe		TRAC.	
OSLOFELTET BUSKERUD FYLKE			KFR.	
NORGES GEOLOGISKE UNDERSØKELSE	TEGNING NR.		KARTBLAD NR.	
TRONDHEIM	1650 / 49E-8		1819III 1814 IV 1714I	



ØVRE GRENSE : 18 32 56 100 180 320 560 1000 > 1000

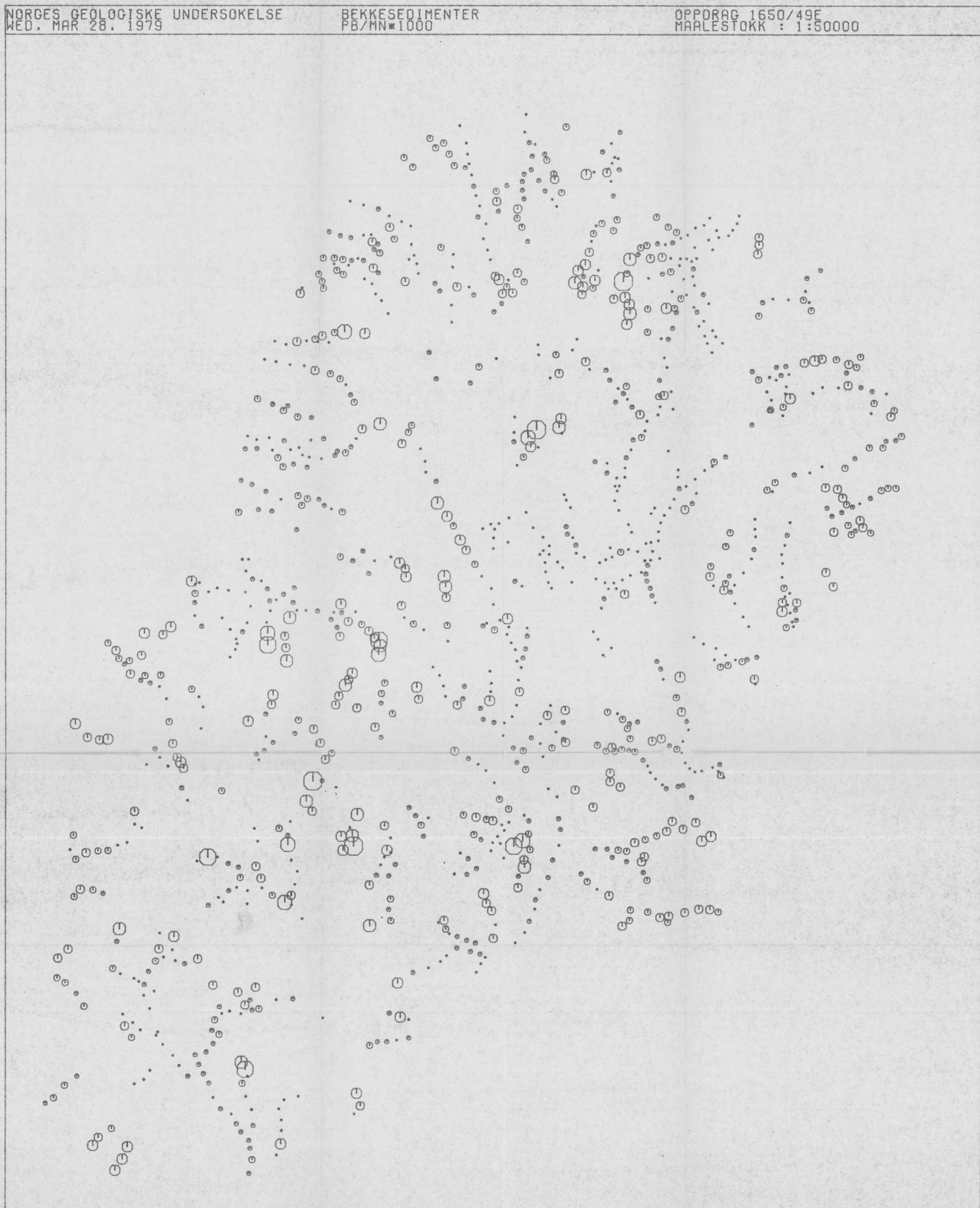
U.S.B.1978  
BEKKESEDIMENTER HNO<sub>3</sub> LØSELIG Pb  
FINNEMARKA Fe  
OSLOFELTET BUSKERUD FYLKE  
NORGES GEOLOGISKE UNDERSØKELSE  
TRONDHEIM

U.S.B.1978		MÅLESTOKK	OBS.
BEKKESEDIMENTER HNO <sub>3</sub> LØSELIG	Pb Fe	TEGN.	
FINNMARKA		TRAC.	
OSLOFELTET BUSKERUD FYLKE		KFR.	
NORGES GEOLOGISKE UNDERSØKELSE	TEGNING NR.	KARTBLAD NR.	
TRONDHEIM	1650 49E-9	1916 III 1814 IV 1714 I	



SYMBOL : . • Ⓛ Ⓜ Ⓝ Ⓞ Ⓟ Ⓠ Ⓡ Ⓢ Ⓣ Ⓤ Ⓥ  
 OVRE GRENSE : 18 32 56 100 180 320 560 1000 > 1000

USB 1978 BEKKESEDIMENTER HNO LØSELIG Mo FINNEMARKA OSLOFELTET BUSKERUD FYLKE	MÅLESTOKK 1:50000	OBS.	
		TEGN.	
		TRAC.	
		KFR.	
NORGES GEOLOGISKE UNDERSØKELSE TRONDHEIM	TEGNING NR. 1650/49E-10	KARTBLAD NR. 1916III 1814IV 1714I	



SYMBOL :	•	◦	◎	○	◐	◑	◑	◑	◑	◑
ØVRE GRENSE :	18	32	56	100	180	320	560	1000	> 1000	

USB 1978  
BEKKESEDIMENTER HNO<sub>3</sub>LØSELIG Pb  
FINNEMARKA Mn  
OSLOFELTET BUSKERUD FYLKE  
NORGES GEOLOGISKE UNDERSØKELSE  
TRONDHEIM

NORGES GEOLOGISKE UNDERSØKELSE  
TRONDHEIM

USB 1978 BEKKESEDIMENTER HNO <sub>3</sub> LØSELIG FINNEMARKA OSLOFELTET BUSKERUD FYLKE	Pb Mn	MÅLESTOKK 1: 50000	OBS. TEGN. TRAC. KFR.
NORGES GEOLOGISKE UNDERSØKELSE TRONDHEIM		TEGNING NR. 1650/ 49E-11	KARTBLAD NR. 1916III 1814IV 1714I



US B 1978 BEKKESEDIMENTER HNO <sub>3</sub> LØSELIG FINNMARKA OSLOFELTET BUSKERUD FYLKE	$\frac{\text{Zn}}{\text{Mn}}$	MÅLESTOKK	OBS.	
		1 50 000	TEGN.	
			TRAC.	
			KFR.	
NORGES GEOLOGISKE UNDERSØKELSE TRONDHEIM		TEGNING NR. 1650 49E-12	KARTBLAD NR. 1916 III 1814 IV 1714 I	



U.S.B.1978  
BEKKESEDIMETR HNO<sub>3</sub>LØSELIG  
FINNEMARKA  
OSLOFELTET BUSKERUD FYLKE

NORGES GEOLOGISKE UNDERSØKELSE  
TRONDHEIM

MÅLESTOKK 1:50000	OBS.	
	TEGN.	
	TRAC.	
	KFR.	

TEGNING NR.  
1650/49E-13

KARTBLAD NR.  
1916III 1814IV  
1714!